

工程控制原理

2. 数学模型与传递函数

2.4 典型环节的传递函数

主讲：李敏



2. 数学模型与传递函数

2.4 典型环节的传递函数

控制系统一般由若干元件以一定形式连接而成，从控制理论来看，物理本质和工作原理不同的元件可以有完全相同的数学模型。

在控制工程中，一般将具有某种确定信息传递关系的元件、元件组或元件的一部分称为一个环节，经常遇到的环节称为典型环节。

复杂控制系统常常由一些简单的典型环节组成，求出这些典型环节的传递函数，就可以获得整个系统的传递函数。



2.4 典型环节的传递函数

控制系统中常用的典型环节有：比例环节、惯性环节、微分环节、积分环节、振荡环节和延时环节等。

2.4.1 比例环节

如果一个环节的输出与输入成正比，既不失真也不延时，则称此环节为比例环节，也称放大环节。其数学模型为

$$x_o(t) = K x_i(t)$$

比例环节的传递函数为

$$G(s) = \frac{X_o(s)}{X_i(s)} = K$$

比例环节的增益，或称放大环节的放大系数

比例环节的方框图



2.4.1 比例环节

例题 求图示一齿轮传动副的传递函数。 n_i 、 n_o 分别为输入轴及输出轴转速， z_1 和 z_2 为齿轮齿数（假定系统为：齿轮副无传动间隙，且传动系统刚性无穷大的理想状态）。

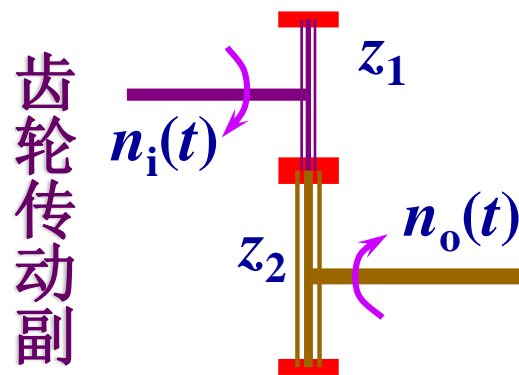
解： 因为

$$z_1 n_i(t) = z_2 n_o(t)$$

经拉氏变换后

$$z_1 N_i(s) = z_2 N_o(s)$$

$$G(s) = \frac{N_o(s)}{N_i(s)} = \frac{z_1}{z_2} = K$$



比例环节： 略去弹性的杠杆、作为测量元件的测速发电机(输入为转速、输出为电压)、电子放大器，等等



2.4 典型环节的传递函数

2.4.2 惯性环节

凡运动方程为一阶微分方程：

$$T \frac{dx_o(t)}{dt} + x_o(t) = K x_i(t)$$

形式的环节称为惯性环节。其传递函数为：

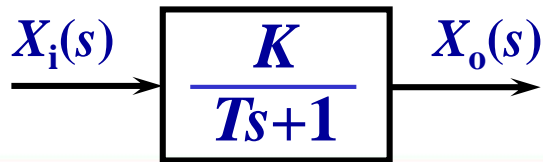
表征环节的惯性，与环节结构参数有关

$$G(s) = \frac{X_o(s)}{X_i(s)} = \frac{K}{Ts + 1}$$

惯性环节的增益，或称放大系数

惯性环节的时间常数

惯性环节的方框图



惯性环节元件中，总含有储能元件。对于突变形式的输入而言，输出总落后于输入。



2.4.2 惯性环节

例题1 求图示质量-弹簧-阻尼器环节传递函数。

解： 若质量 m 相对很小，可略去其影响(忽略惯性力)。此时的系统动力学方程为

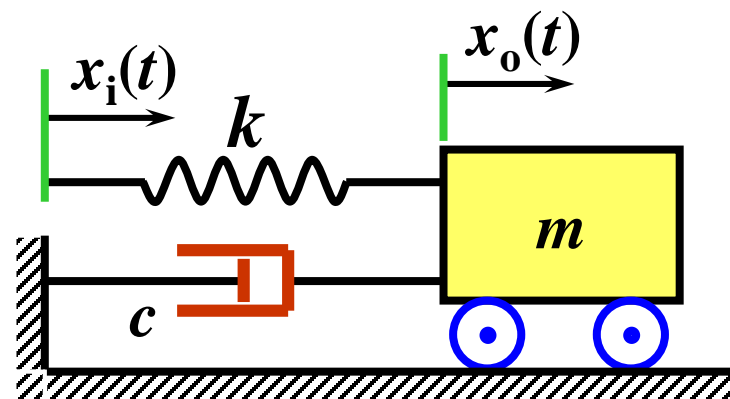
$$c \frac{dx_o(t)}{dt} + kx_o(t) = kx_i(t)$$

经拉氏变换后

$$csX_o(s) + kX_o(s) = kX_i(s)$$

系统传递函数为

$$G(s) = \frac{X_o(s)}{X_i(s)} = \frac{k}{cs + k} = \frac{1}{Ts + 1}$$



质量-弹簧-阻尼器系统模型

惯性环节的
时间常数

$$T = \frac{c}{k}$$



2.4.2 惯性环节

例题2 求图示简单阻容电路的传递函数。

解： 电路方程为

$$u_i(t) = R \cdot i(t) + \frac{1}{C} \int i(t) \cdot dt$$

$$u_o(t) = \frac{1}{C} \int i(t) \cdot dt$$

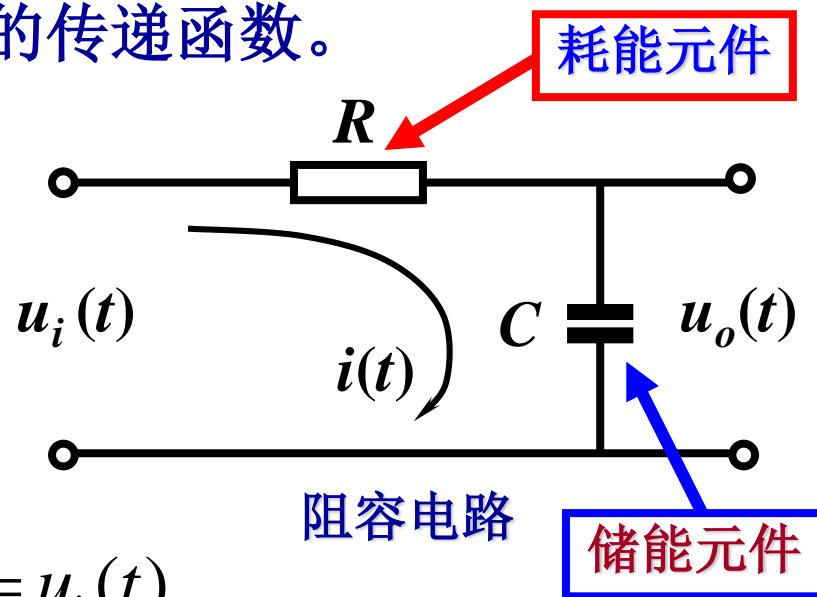
$$RC \frac{du_o(t)}{dt} + u_o(t) = u_i(t)$$

经拉氏变换后

$$RCsU_o(s) + U_o(s) = U_i(s)$$

系统传递函数为

$$G(s) = \frac{U_o(s)}{U_i(s)} = \frac{1}{RCs + 1} = \frac{1}{Ts + 1}$$



电路的
时间常数

$$T = RC$$



2.4.2 惯性环节

例题3 图示为简化了的直流发电机电路。转子恒速转动，输入为励磁电压 u_i ，输出为电压 u_o ，求此系统的传递函数。

解： 励磁电路电压方程为

$$u_i(t) = Ri(t) + L \frac{di(t)}{dt}$$

输出电路中转子恒速，故

$$u_o(t) = K_1 i(t)$$

常数

$$u_i(t) = \frac{R}{K_1} u_o(t) + \frac{L}{K_1} \frac{du_o(t)}{dt}$$

经拉氏变换后，系统传递函数为

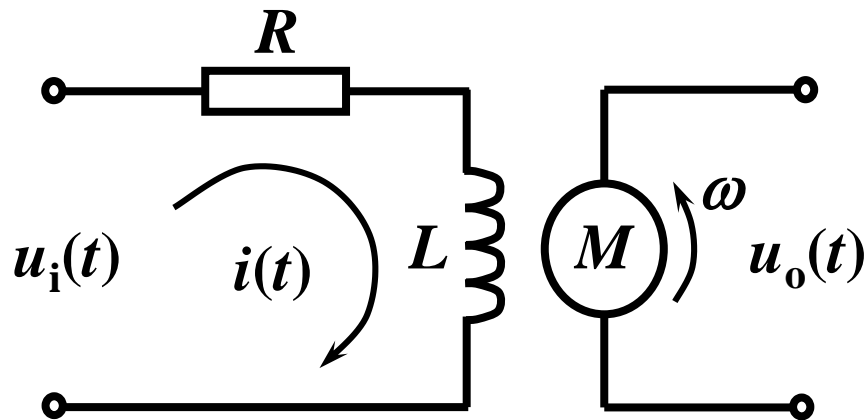
$$G(s) = \frac{U_o(s)}{U_i(s)} = \frac{K_1}{Ls + R} = \frac{K}{Ts + 1}$$

惯性环节的
增益

$$K = \frac{K_1}{R}$$

惯性环节的
时间常数

$$T = \frac{L}{R}$$



2.4 典型环节的传递函数

2.4.3 微分环节

理想微分环节的输出量正比于输入量的微分，即

$$x_o(t) = T \frac{dx_i(t)}{dt}$$

因此，理想微分环节的传递函数为

$$G(s) = \frac{X_o(s)}{X_i(s)} = Ts$$

微分环节的
时间常数

微分环节的方框图



当输入量为阶跃函数时，理论上输出量将是一个幅值为无穷大而时间宽度为零的脉冲，实际上不可能。

因此，在物理系统中微分环节不独立存在，而是和其它环节一起出现。



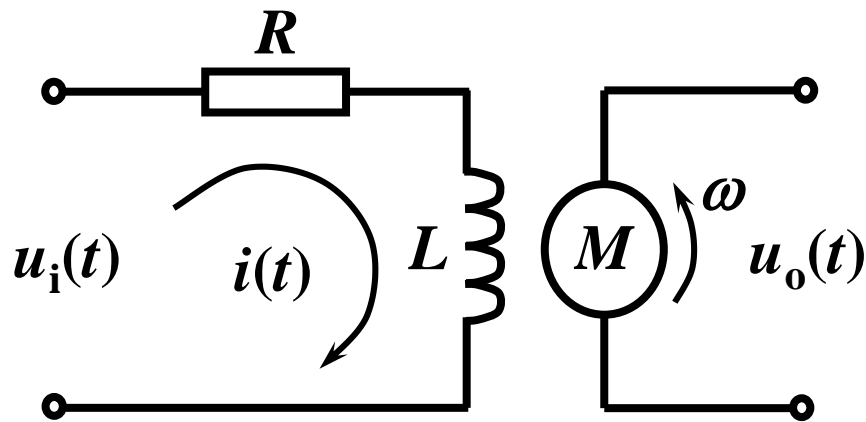
2.4.3 微分环节

例题1 仍考虑直流发电机电路。当励磁电压 u_i 恒定时，取输入为转子转角 θ ，输出为电枢电压 u_o ，求此时的传递函数。

解： 由于 u_i 恒定，磁通量为定值，所以电枢电压与转速成正比，即

$$u_o(t) = K \frac{d\theta(t)}{dt}$$

常数



经拉氏变换后得 $U_o(s) = Ks\Theta(s)$

系统传递函数为 $G(s) = \frac{U_o(s)}{\Theta(s)} = Ks$



2.4.3 微分环节

例题2 图示液压阻尼器原理。求系统传递函数。

解： 液压缸力平衡
方程为

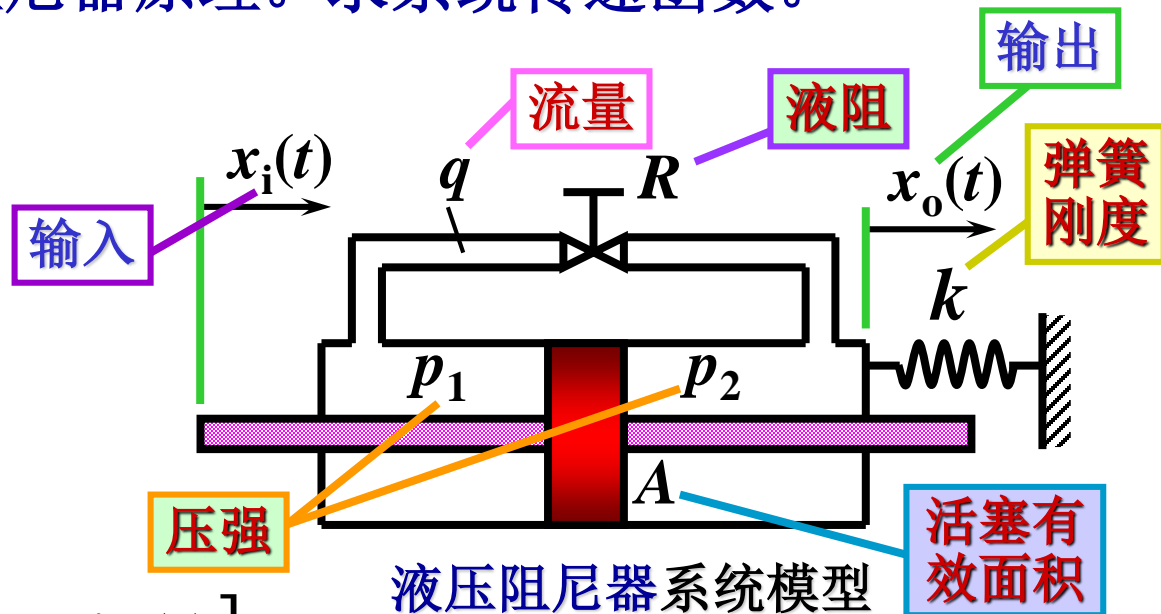
$$A(p_2 - p_1) = kx_o(t)$$

过阻尼的流量方程

$$q = \frac{p_2 - p_1}{R} = A[\dot{x}_i(t) - \dot{x}_o(t)]$$

以上两式中消去 p_1 、 p_2 ，得

$$\dot{x}_i(t) - \dot{x}_o(t) = \frac{k}{A^2 R} x_o(t) \quad \longrightarrow \quad \dot{x}_o(t) + \frac{k}{A^2 R} x_o(t) = \dot{x}_i(t)$$



2.4.3 微分环节

经过拉氏变换后得到

$$sX_o(s) + \frac{k}{A^2 R} X_o(s) = sX_i(s)$$

得到传递函数

$$G(s) = \frac{X_o(s)}{X_i(s)} = \frac{s}{s + \frac{k}{A^2 R}} = \frac{Ts}{Ts + 1} \quad T = \frac{A^2 R}{k}$$

由上面传递函数形式看出，液压阻尼器是包含有惯性环节和微分环节的系统，称之为具有惯性的微分环节。

若 $|Ts| \ll 1$ 时， $G(s) \approx Ts$ ，系统近似成为理想微分环节。



2.4.3 微分环节

例题3 图示电路系统为具有惯性的微分环节。求此系统的传递函数。

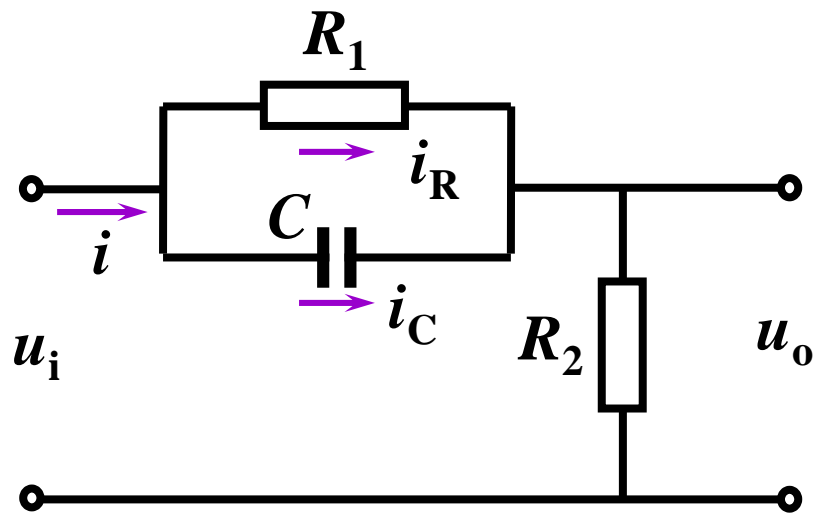
解： 电路方程为

$$u_i = \frac{1}{C} \int i_C dt + u_o$$

$$i_R = \frac{1}{R_1 C} \int i_C dt$$

$$i = i_R + i_C = \frac{1}{R_1 C} \int i_C dt + i_C$$

$$u_o = i \cdot R_2 = \frac{R_2}{R_1 C} \int i_C dt + R_2 i_C \rightarrow U_o(s) = \frac{R_2}{R_1 C s} I_C(s) + R_2 I_C(s)$$



拉氏变换



2.4.3 微分环节

消去 $I_C(s)$ 后, 得

$$U_i(s) = \frac{R_1}{R_1Cs + 1} \frac{U_o(s)}{R_2} + U_o(s)$$

得到传递函数

$$G(s) = \frac{U_o(s)}{U_i(s)} = \frac{R_2(R_1Cs + 1)}{R_2(R_1Cs + 1) + R_1} = \frac{K(Ts + 1)}{KTs + 1}$$

$$T = R_1C$$

时间常数

$$K = \frac{R_2}{R_1 + R_2}$$



2.4.3 微分环节

当 $R_1 \rightarrow \infty$ 时,

$$u_i = \frac{1}{C} \int i dt + u_o \quad u_o = iR_2$$

经拉氏变换后, 得

$$U_i(s) = \left(\frac{1}{CR_2s} + 1 \right) U_o(s)$$

得到传递函数

$$G(s) = \frac{U_o(s)}{U_i(s)} = \frac{R_2Cs}{R_2Cs + 1} = \frac{Ts}{Ts + 1}$$

$$T = R_2C$$

时间常数

具有惯性的微分环节



2.4 典型环节的传递函数

2.4.4 积分环节

积分环节：输出量正比于输入量对时间的积分，即

$$x_o(t) = \frac{1}{T} \int x_i(t) dt$$

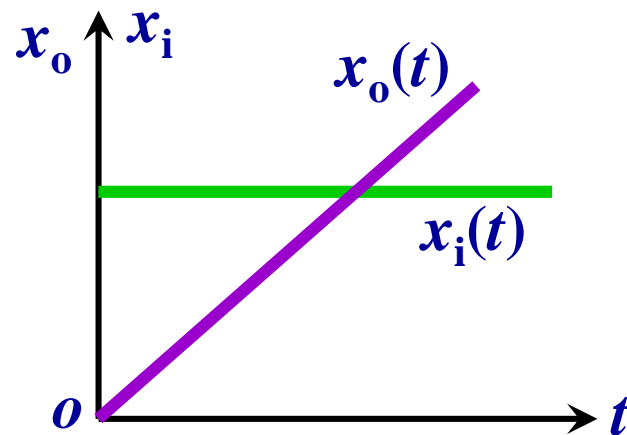
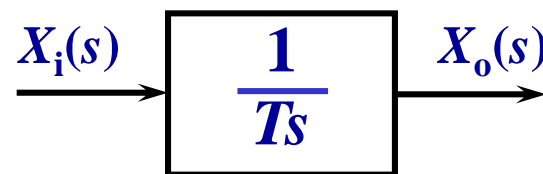
因此，积分环节的传递函数为

积分环节的
时间常数

$$G(s) = \frac{X_o(s)}{X_i(s)} = \frac{1}{Ts}$$

当输入量 x_i 为定值时，输出量将正比于时间。

积分环节的方框图



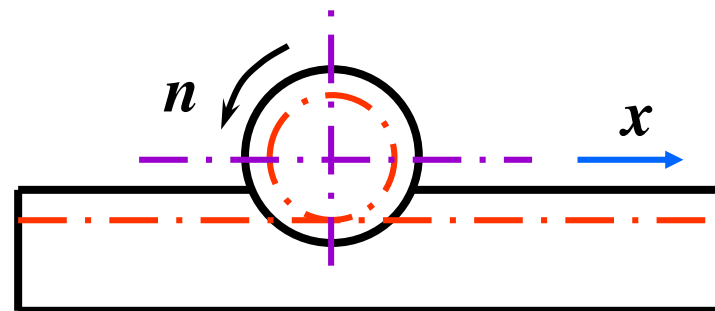
2.4.4 积分环节

例题1 图示齿轮齿条传动机构，取齿轮转速 n 为输入量，齿条的位移量 x 为输出量，求此机构的传递函数。

解： 由齿轮齿条的转速关系

$$\frac{dx}{dt} = \pi D n$$

齿轮节圆直径



经拉氏变换后得 $sX(s) = \pi D N(s)$

系统传递函数为 $G(s) = \frac{X(s)}{N(s)} = \frac{\pi D}{s}$



2.4.4 积分环节

例题2 图示电路系统，求此环节的传递函数。

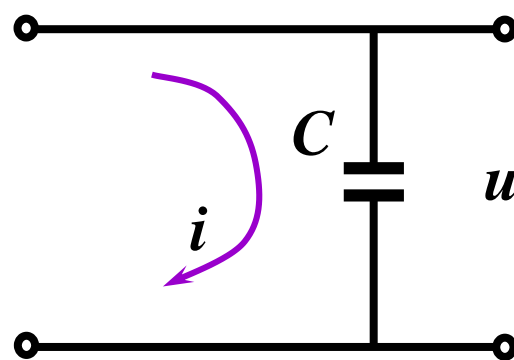
解： 取输入量为回路电流*i*，输出量为电容器两端电压*u*，则

$$u = \frac{1}{C} \int i dt$$

经拉氏变换后得 $U(s) = \frac{1}{Cs} I(s)$

系统传递函数为 $G(s) = \frac{U(s)}{I(s)} = \frac{1/C}{s} = \frac{K}{s}$

$$K = \frac{1}{C}$$



电气积分环节



2.4.4 积分环节

例题3 图示液压缸，其输入为流量 q ，输出为活塞位移 x ，求此环节的传递函数。

解： 活塞有效面积为 A ，则

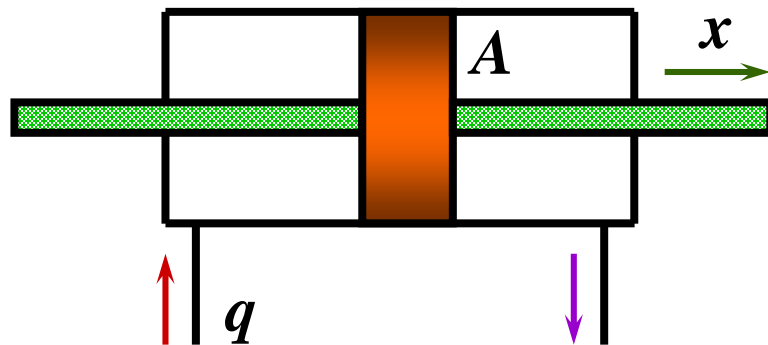
$$\frac{dx}{dt} = \frac{q}{A}$$

即
$$x = \int \frac{q}{A} dt$$

经拉氏变换后得
$$X(s) = \frac{1}{As} Q(s)$$

系统传递函数为
$$G(s) = \frac{X(s)}{Q(s)} = \frac{1/A}{s} = \frac{K}{s}$$

$K = \frac{1}{A}$



液压积分环节



2.4 典型环节的传递函数

2.4.5 振荡环节

振荡环节是二阶环节，含有两个独立的储能元件，且所存储的能量能够相互转换，从而导致输出带有振荡的性质。

传递函数为

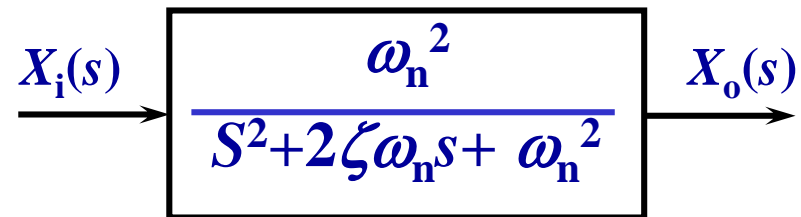
$$G(s) = \frac{\omega_n^2}{s^2 + 2\zeta\omega_n s + \omega_n^2}$$

ω_n : 无阻尼
固有频率

阻尼比

若 $\zeta < 1$ 、输入为单位阶跃函数时，输出将是衰减振荡过程。

振荡环节的方框图

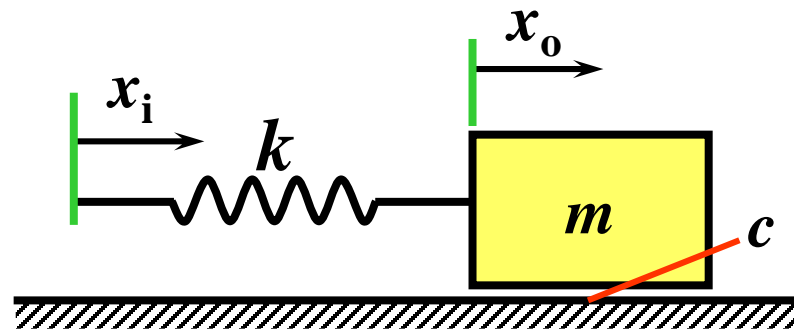


2.4.5 振荡环节

例题1 图示质量-阻尼-弹簧系统，求其传递函数。

解： 考虑质量 m 的影响，写出动力学方程

$$m \frac{d^2 x_o}{dt^2} + c \frac{dx_o}{dt} = k(x_i - x_o)$$



质量-弹簧-阻尼器系统

或
$$m \frac{d^2 x_o}{dt^2} + c \frac{dx_o}{dt} + kx_o = kx_i$$

经拉氏变换
$$ms^2 x_o(s) + csx_o(s) + kx_o(s) = kx_i(s)$$

传递函数
$$G(s) = \frac{X_o(s)}{X_i(s)} = \frac{\omega_n^2}{s^2 + 2\zeta\omega_n s + \omega_n^2}$$

$$\omega_n = \sqrt{\frac{k}{m}}$$

$$\zeta = \frac{c}{2\sqrt{mk}}$$



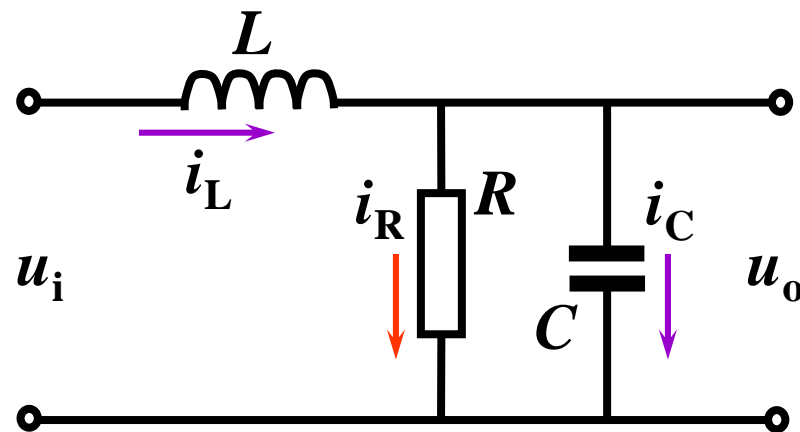
2.4.5 振荡环节

例题2 由电感、电阻及电容组成的串、并联电路。 u_i 为输入电压时， u_o 为输出电压，求此系统的传递函数。

解： 电路方程 $i_L = i_C + i_R$

$$u_i = L \frac{di_L}{dt} + u_o$$

$$u_o = Ri_R = \frac{1}{C} \int i_L dt$$



联立后得

$$u_i = LC \frac{d^2 u_o}{dt^2} + \frac{L}{R} \frac{du_o}{dt} + u_o$$

拉氏变换

$$U_i(s) = LCs^2 U_o(s) + \frac{L}{R} s U_o(s) + U_o(s)$$



2.4.5 振荡环节

传递函数为

$$G(s) = \frac{U_o(s)}{U_i(s)} = \frac{1}{LCs^2 + \frac{L}{R}s + 1} = \frac{\omega_n^2}{s^2 + 2\zeta\omega_n s + \omega_n^2}$$
$$\omega_n = \sqrt{\frac{1}{LC}} \quad \zeta = \frac{1}{2R} \sqrt{\frac{L}{C}}$$

振荡环节的主要特征是含有两种形式的储能元件，而且能够将储存的能量相互转换，如动能与位能、电能与磁能间的转换等等。在能量转换过程中使输出量产生振荡。



2.4 典型环节的传递函数

2.4.6 延时环节

也称纯滞后环节。延时环节是输出量和输入量相同而仅延迟一时间 τ 。若输入为 $x(t)$ ，输出则与输入的信号形状完全相同，而仅时间延迟 τ ，即输出为 $x(t-\tau)$ 。

延时环节输出量 $x_o(t)$ 与输入量为 $x_i(t)$ 的关系为

$$x_o(t) = x_i(t - \tau)$$

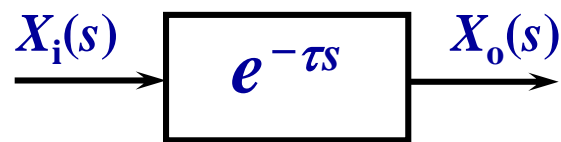
拉氏变换后得

$$X_o(s) = e^{-\tau s} X_i(s)$$

传递函数

$$G(s) = \frac{X_o(s)}{X_i(s)} = e^{-\tau s}$$

延时环节的方框图



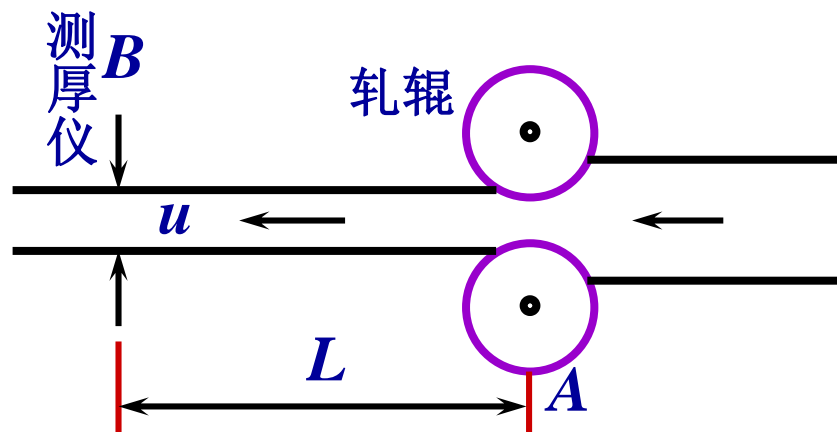
2.4.6 延时环节

工业上经常会遇到纯时间延迟或传输滞后现象。如各种传动系统（液压传动、气压传动、机械传动）和计算机控制系统，有时需要经过一定的延迟时间，才能允许输出对输入作出响应。

轧钢工艺中带钢在轧辊A点轧出时，由于压力系统或者轧辊本身的原因，可能产生厚度偏差，但到达B点时才能被测厚仪检测到。此延迟时间为

$$\tau = \frac{L}{u}$$

轧辊处带钢厚度与检测厚度之间的传递函数是一个延时环节



2.4 典型环节的传递函数

延时环节与惯性环节的区别

惯性环节从输入开始时刻起就已有输出，仅由于惯性，输出要滞后一段时间才接近所要求的输出值。

延时环节从输入开始之初，在 $0 \sim \tau$ 时间内没有输出，但在 $t = \tau$ 之后，输出完全等于输入。



2.4 典型环节的传递函数

作业： P45

2-1、 2-2、 2-3

